

UN ALGORITMO PARA CONSTRUIR  
CODIFICACIONES DIFUSAS BALANCEADAS

Glz. de Garibay V. y Barba L.

ABSTRACT

*Results assuring the existence of semilinear fuzzy partitions in 2, 3 or 4 balanced fuzzy classes are known. Such existence is not guaranteed for a greater number of classes.*

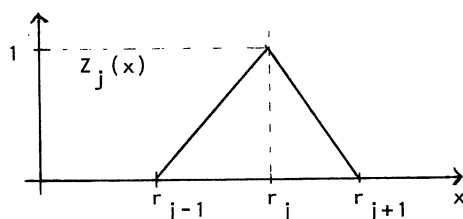
*In this paper we present an algorithm that characterizes the set of solutions, and constructs any of them. Situations without a solution are also detected.*

*We give a FORTRAN program for the algorithm and some examples.*

1. Introducción

Diversos autores vienen utilizando codificaciones difusas como alternativa a la codificación disyuntiva, que presenta problemas de pérdida de información (a partir de los valores codificados no pueden construirse los datos originales) y de discontinuidad (aparecen distancias artificiales entre puntos próximos que al ser codificados pertenecen a clases diferentes). El uso de c.d. se impone en determinadas circunstancias (Roux y Guitonneau 1977, Lefol 1979, Gallego 1980 y 1982, Cazes 1980, Garibay 1984 y 1985).

Una c.s.l.d. (c.d. semilineal) (Gallego 1982) en J clases difusas está asociada a una partición difusa de la Recta (Dubois 1980) cuyas f.p. (funciones de pertenencia)  $Z_1, \dots, Z_J$  están determinadas por J valores reales  $r_1 < \dots < r_J$  llamados p.r. (puntos de referencia), de la siguiente manera:



$Z_j(x) = I_j(x) \cdot (x - r_{j-1}) / (r_j - r_{j-1}) + I_{j+1}(x) \cdot (r_{j+1} - x) / (r_{j+1} - r_j)$ , con las lógicas modificaciones  $Z_1(x) = 1$  si  $x < r_1$  y  $Z_J(x) = 1$  si  $x > r_J$ . (Con  $I_j$  representamos el indicador del intervalo  $[r_{j-1}, r_j]$ ).

Consideraremos en todo el trabajo la muestra ordenada  $x_1 < x_2 < \dots < x_n$ . Utilizando la notación de Garibay y Barba (1985), llamamos contingente difuso de la clase j al valor  $T_j$  definido por  $\sum_{i=1}^n Z_j(x_i)$  y vector T de contingentes difusos a  $(T_1, \dots, T_J)$  (notar que  $\sum_{j=1}^J T_j = n$ ).

Si  $\theta$  es el cono abierto de  $R^J$  definido por  $r_1 < \dots < r_J$ , para cada elemento  $o = (r_1, \dots, r_J)'$  de  $\theta$ , tenemos la c.s.l.d. asociada a estos p.r. cuyas f.p. notaremos  $Z_1^o \dots Z_J^o$ . Si no hay lugar a equívocos, usaremos  $Z_j$  por  $Z_j^o$ .

Consideramos  $T_j$  como una aplicación de  $\theta$  en  $R$ , que en  $o$  toma el valor  $T_j(o) = \sum_i Z_j^o(x_i)$ . De forma análoga, T resulta una aplicación de  $\theta$  en  $R^J$ :  $T(o) = (T_1(o), \dots, T_J(o))'$ . Si no hay lugar a equívoco sobre el  $o$  utilizado, notaremos  $T_j$  por  $T_j(o)$  y T por  $T(o)$ .

Nuestro algoritmo encuentra los elementos  $o$  de  $\theta$  tales que  $T(o) = c \cdot 1_J$  ( $1_J = (1, \dots, 1)'$   $\in R^J$ ) si existen, y en caso contrario, detecta la no existencia de solución (notar que  $c = n/J$ ).

## 2. Resultados previos.

Garibay y Barba (1985) estudian el problema de existencia de soluciones. Demuestran que para  $J=2,3$  y  $4$ , el problema siempre tiene solución y dan contraejemplos que demuestran que para  $J>4$  no puede asegurarse que exista.

Prueban asimismo que  $T: \theta \rightarrow R^J$  es continua; que  $\forall j=2 \dots J$ , si  $T_1(o) = \dots = T_{j-1}(o) = c$ , y si además

a)  $(j-1)c \notin N$ , entonces existe una dependencia funcional (determinada por la muestra) entre  $r_{j-1}$  y  $r_j$ :  $f_{j-1,j}(r_{j-1}) = r_j$ . Esta  $f_{j-1,j}(\cdot)$  resulta monótona estrictamente decreciente, continua, y si  $x \uparrow x_s$ ,  $\lim f_{j-1,j}(x) = x_s$ , donde  $s = [n(j-1)/J] + 1$  ( $[x]$  representa la parte entera de  $x$ );  $f$  es además poligonal.

b)  $(j-1)c \in N$ , entonces la dependencia  $f_{j-1,j}(r_{j-1}) = r_j$  resulta para valores  $r_{j-1} < x_s$  (siendo ahora  $s = n(j-1)/J$ ), con las mismas características de a), salvo que  $\lim f_{j-1,j}(x) = x_{s+1}$  cuando  $x \uparrow x_s$ ; demuestran también que  $r_{j-1} \in [x_s, x_{s+1})$  si y solo si  $r_j \in (x_s, x_{s+1}]$  y en estos casos definen  $f_{j-1,j}(r_{j-1})$  como el intervalo  $(r_{j-1}, x_{s+1}]$  probando que  $r_j \in f_{j-1,j}(r_{j-1})$ ;  $f_{j-1,j}^{-1}(r_j)$  es el intervalo  $(x_s, r_j]$  y demuestran que  $r_{j-1} \in f_{j-1,j}^{-1}(r_j)$ .

Utilizamos estos resultados y notaciones en el presente trabajo.

## 3. Desarrollo teórico.

**Teorema 1.** Sean  $n$  cualquiera y  $J < n$ ;  $c = n/J$ ; Dados  $x_1 < \dots < x_n$  y  $o \in \theta$  cualesquiera, entonces:

$$T(o) = 1_{J \cdot c} \iff \forall j = 2 \dots J, r_j \in f_{j-1,j}(r_{j-1}).$$

Demostración.

$$T_1=c \iff r_2 \in f_{1,2}(r_1);$$

para  $j > 1$ :

$$T_1 = \dots = T_{j-1} = c \iff T_1 = \dots = T_{j-2} = c \text{ y } r_j \in f_{j-1,j}(r_{j-1}) \iff \\ \iff r_2 \in f_{1,2}(r_1) \dots r_j \in f_{j-1,j}(r_{j-1})$$

$$\text{Luego } T(o) = c.1_J \iff r_j \in f_{j-1,j}(r_{j-1}) \quad \forall j = 2 \dots J.$$

###

Teorema 2. Sean  $n$  cualquiera y  $J < n; c = n/J$ ; cada muestra  $x_1 < \dots < x_n$  determina  $J$  pares  $(L_j, U_j) \in \mathbb{R}^2$  tales que:

$$L_j < U_j \quad \forall j = 1 \dots J \iff \exists o \in \theta / T(o) = 1_J.c$$

Además, si  $L_j < U_j \quad \forall j = 1 \dots J$ , entonces;

$\forall j, \forall r_j \in (L_j, U_j)$  y  $\forall i \in \{1, \dots, J\} - \{j\}$ ,  $\exists r_i \in (L_i, U_i)$  de forma que

$$o = (r_1, \dots, r_j) \in \theta \quad \text{y } T(o) = c.1_J.$$

Demostración.

A partir del Teorema 1 y teniendo en cuenta el rango de definición de  $f_{j-1,j}(\cdot)$  y Garibay, Barba (1985), resulta:

$$T(o) = 1_J.c \iff \forall j = 1 \dots J \quad r_j < U_j(j), \text{ siendo } U_j(j) = x_{[jc+1]} \text{ para } \\ j = 1 \dots J-1 \text{ y } U_J(J) = \infty.$$

Dadas las propiedades de las  $f_{j-1,j}$  (Garibay y Barba 1985 Th. 2 y 3),  $T(o) = 1_J.c \iff L_j(j) < r_j < U_j(j) \quad \forall j = 1 \dots J$ , siendo  $L_j(j) = x_{(j-1)c}$  si  $(j-1)c \in \mathbb{N}$  y  $L_j(j) = x_{[(j-1)c+1]}$  si  $(j-1)c \notin \mathbb{N}$  cuando  $j = 2 \dots J$  y  $L_1(1) = -\infty$ . (Hagamos notar que  $U_j(j) = L_{j+1}(j+1)$  si

$j \in \mathbb{N}$ ).

Bajo la hipótesis  $T(o) = c.1_J$ , la acotación  $r_j < U_j(j)$  obliga a que tanto  $r_{j-1}$  como  $r_{j+1}$  estén acotados inferiormente por sendos valores, que llamaremos  $L_{j-1}(j)$  y  $L_{j+1}(j)$  resp. Análogamente,  $r_j > L_j(j)$  obliga a que  $r_{j-1}$  y  $r_{j+1}$  sean menores que sendas cotas superiores que llamamos  $U_{j-1}(j)$  y  $U_{j+1}(j)$ .

Estas cuatro nuevas cotas afectan ahora a  $r_{j-2}$  y a  $r_{j+2}$ , obteniendo para estos p.r.:

$$L_{j-2}(j) < r_{j-2} < U_{j-2}(j)$$

$$\text{y } L_{j+2}(j) < r_{j+2} < U_{j+2}(j).$$

Partiendo de cada  $r_j$  y repitiendo el proceso hasta alcanzar en cada caso las cotas para  $r_1: L_1(j), U_1(j)$  y para  $r_J: L_J(j), U_J(j)$  obtenemos sendas colecciones de  $J$  cotas para cada  $r_j$ :

$$L_j(i) < r_j < U_j(i) \quad i=1 \dots J.$$

Así pues,  $T(o) = 1_J.c \implies L_j < r_j < U_j \quad \forall j=1 \dots J$ , siendo para cada  $j$   $L_j = \max\{L_j(1), \dots, L_j(J)\}$  y  $U_j = \min\{U_j(1), \dots, U_j(J)\}$ .

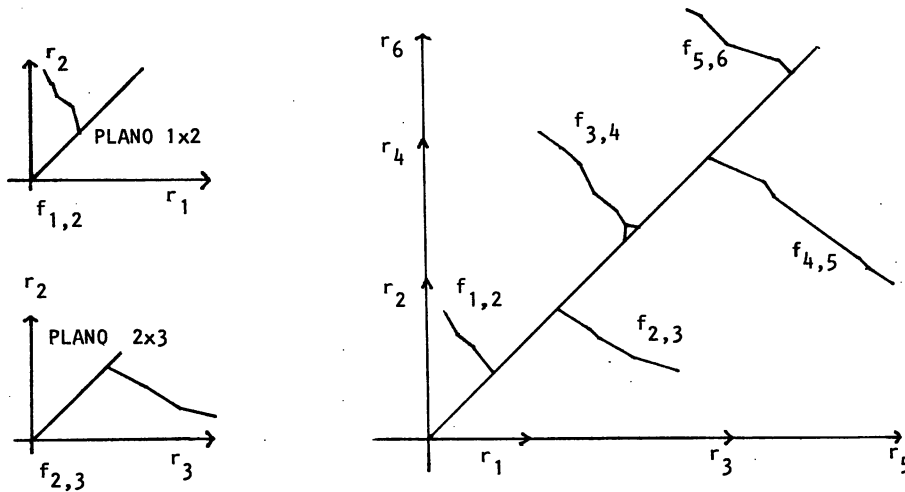
Recíprocamente, si  $L_j < U_j \quad \forall j=1 \dots J$ , entonces  $\forall j$  y  $\forall r_j \in (L_j, U_j)$ , debido a la construcción de las cotas y a las propiedades de las funciones de dependencia,  $f_{j,j+1}(r_j) \cap (L_{j+1}, U_{j+1}) = A \neq \emptyset$ , y puedo elegir un elemento  $r_{j+1} \in A$ . Análogamente,  $f_{j,j-1}^{-1}(r_j) \cap (L_{j-1}, U_{j-1})$  es no vacío y tomo  $r_{j-1}$  en este conjunto. Reiterando este procedimiento, el vector  $o = (r_1, \dots, r_j, \dots, r_J)'$  constituye una solución  $o \in \theta$  y  $T(o) = c.1_J$ .

Por tanto  $\exists o \in \theta / T(o) = c.1_J \iff L_j < U_j \quad \forall j=1 \dots J$ .

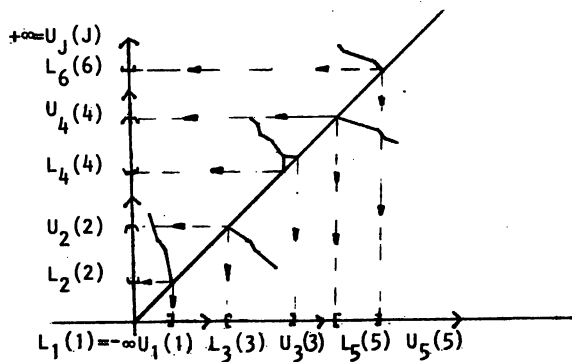
#### 4. El algoritmo.

Los propios pasos de la demostración, constructiva, del Teorema 2 conforman un algoritmo que (a) si no existe solución, encuentra  $L_j > U_j$  para algún  $j$ , y (b) si existe, encuentra los intervalos

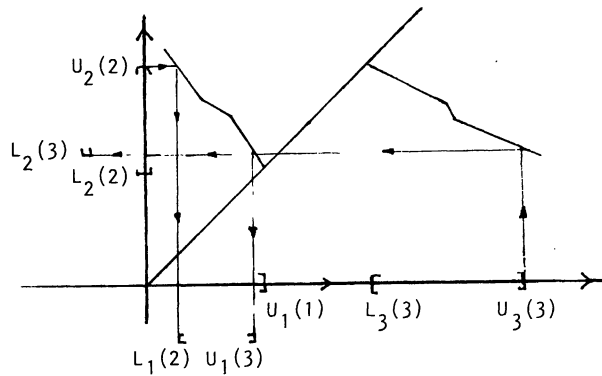
$(L_j, U_j)$  tales que tomando un punto cualquiera de uno cualquiera de ellos,  $r_j \in (L_j, U_j)$ , podemos completar una  $J$ -upla solución,  $\alpha = (r_1, \dots, r_J)'$ , eligiendo convenientemente los restantes p.r. La idea gráfica del algoritmo es la siguiente: dibujemos el grafo de  $f_{j-1, j}$  (que relaciona  $r_{j-1}$  y  $r_j$  bajo la hipótesis  $T(\alpha) = c.1_j$ ) en el plano  $(j-1) \times j$ ; podemos superponer las  $J-1$  gráficas en una sola, que representa todas las dependencias entre  $r_{j-1}$  y  $r_j$  bajo la hipótesis de equilibrio:



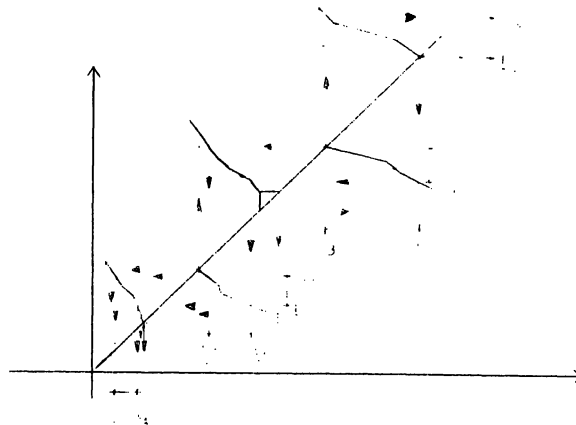
Los valores  $L_j(j)$  y  $U_j(j)$  (que son los primeros que cargamos en  $L_j$  y  $U_j$ , resp.) se obtienen gráficamente de la forma:



Ilustramos en la siguiente figura la obtención de algunas cotas  $U_j(i)$  ó  $L_j(i)$  con  $i \neq j$ :



La intersección  $\cap_{i=1}^n (L_j(i), U_j(i))$  nos da el intervalo solución  $(L_j, U_j)$  para  $r_j$ . En este ejemplo, cada  $L_j$  ha resultado menor que el correspondiente  $U_j$ ; todos los intervalos  $(L_j, U_j)$  son no vacíos y tenemos caracterizado el conjunto de todas las soluciones.



Los Pasos del Algoritmo.

Paso 1: Cargamos en  $L_j$  el valor  $L_j(j)$  y en  $U_j$  el  $U_j(j)$  ( $j=1\dots J$ ) :

	L	U
$r_1$	$L_1(1)$	$U_1(1)$
$r_2$	$L_2(2)$	$U_2(2)$
z	⋮	⋮
$r_J$	$L_J(J)$	$U_J(J)$

(Notar que  $L_1(1) = -\infty$  y que  $U_J(J) = +\infty$ ).

Definición. Sea  $L_{j-1}$  la cota inferior para  $r_{j-1}$  almacenada tras



$j-1$  pasos del algoritmo. En el paso  $j$ , tomamos un nuevo p.r.,  $r_j$ , que está acotado superiormente por  $U_j$ . La monotonía de  $f_{j-1,j}$  hace que si  $r_j < U_j$ , entonces  $r_{j-1} > a$  para un cierto  $a$ . Diré que  $r_j < U_j$  OBLIGA a  $L_{j-1}$ , cuando  $a$  sea mayor que el valor  $L_{j-1}$ . En tal caso,  $a$  pasa a ser el nuevo valor cargado en  $L_{j-1}$ . Análogamente diré que  $r_j > L_j$  OBLIGA a  $U_{j+1}$  ó a  $U_{j-1}$ .

Es inmediato comprobar que si  $r_j < U_j$  obliga a  $L_{j-1}$ , entonces  $L_{j-1}$  NO obliga a  $U_j$ , y reciprocamente. (1)

PASO 2: Consideramos  $r_2$

2.1:  $r_2 > L_2(2)$  nunca obliga a  $U_1$ .

2.2:  $r_2 < U_2(2)$  siempre obliga a  $L_1$ . Cargamos en  $L_1$  este valor, mayor que el anterior. Termina Paso 2.

PASO 3: Consideramos  $r_3$

3.1:  $r_3 > L_3(3)$  nunca obliga a  $U_2$

3.2: Debido a (1), únicamente puede darse una de estas dos situaciones:

3.2.a.  $r_2 > L_2(2)$  obliga a  $U_3$ ; cargamos en  $U_3$  este valor, menor que el anterior, y termina el paso 3.

3.2.b.  $r_3 < U_3(3)$  obliga a  $L_2$ ; cargamos en  $L_2$  este nuevo valor mayor que el anterior, y revisamos si para este nuevo valor de  $L_2$ ,  $r_2 > L_2$  obliga a  $U_1$ :

si NO obliga, termina el psaso 3.

si SI obliga, modificamos  $U_1$  y termina el paso 3.

·  
·  
·

PASO j: Consideramos  $r_j$ :

j.1  $r_j > L_j(j)$  nunca obliga a  $U_{j-1}$ ;

si  $r_{j-1} < U_{j-1}$  obliga a  $L_j$ , cargamos el nuevo valor de  $L_j$ .

j.2 Por (1), únicamente puede darse una de estas dos situaciones:

j.2.a.  $r_{j-1} > L_{j-1}$  obliga a  $U_j$ ;

cargamos el nuevo valor de  $U_j$  y termina el paso j.

j.2.b.  $r_j < U_j(j)$  obliga a  $L_{j-1}$ ;

vemos si este nuevo  $L_{j-1}$  obliga a  $U_{j-2}$ ;

si NO obliga, termina el paso j.

si SI obliga, cargo este nuevo  $U_{j-2}$

vemos si este nuevo  $U_{j-2}$  obliga a  $L_{j-3}$ ;

si NO obliga, termina el paso j.

si SI obliga, cargo este nuevo  $L_{j-3}$

vemos si este nuevo  $L_{j-3}$  obliga a  $U_{j-4}$ ;

... hasta donde sea posible (j-1 veces a lo sumo).

termina paso j.

·  
·  
·

Continuamos hasta concluir el PASO J.

En este momento, tendremos cargados en  $(L_j, U_j)_{j=1 \dots J}$  los valores  $L_j, U_j$  del Teorema 2.

## 5. Programa Fortran.

Elaborando un programa en FORTRAN, hemos conseguido la puesta a punto del algoritmo desde un punto de vista práctico y resulta así cómodamente utilizable. En el apéndice 2 incluimos un somero resumen del diagrama de flujo empleado.

Al correr el programa, debemos dar valores para las variables siguientes:

- N = tamaño de la muestra a codificar.
- J = n° de clases difusas equilibradas deseadas.
- IORD = 1 ó 0, según que la muestra vaya a ser dada en orden creciente o no.
- ISOL = 2 si deseamos que el programa calcule los intervalos solución (cuando existan) y construya una de las soluciones tomando automáticamente como p.r. de partida  $r_1$  con el valor  $(L_1+U_1)/2$ .
  - = 1 calcula intervalos solución y completa una solución a partir de un p.r. que el usuario debe introducir:  $r_j$ .
  - = 0 el programa pide los intervalos solución y el p.r. de partida, completando una solución a partir de éste.
- X(1)...X(J) valores de la muestra a codificar.

Cuando existe solución obtenemos en la salida valores para las siguientes variables entre otras:

- L(j),U(j) cotas del Teorema 2.
- IL(j),IU(j) n° de observaciones en la muestra, menosres que L(j) y U(j) resp. (nos da una idea de la posición de estos valores en la muestra).
- R(j) p.r. solución.
- IREF(j) n° de observaciones menores que el correspondiente p.r.

Ejemplo de una salida:

N	J	IORD	ISOL (Tarjeta de control):	
40	8	1	2	

(Lista de los 40 valores codificados, obtenidos en este caso simulando una Uniforme (0,1)):

0.014328063	0.046890438	0.050637305	0.063750446	0.07510668
0.1114971	0.1148793	0.1266391	0.1404701	0.1523901
0.1894552	0.1958491	0.2179943	0.2690665	0.2734967
0.2855063	0.3501683	0.3983895	0.4087101	0.4167263
0.4350125	0.4487864	0.4923264	0.5254094	0.5824481
0.6475641	0.6601760	0.6794111	0.6993963	0.7044111
0.7050844	0.7183182	0.7349077	0.7978860	0.7979252
0.8066970	0.8243976	0.8541732	0.9249521	0.9368497

INTERVALOS SOLUCION:

IL(j)	LL(j)	L(j)	U(j)	UU(j)	IU(j)
3	-0.01013754	0.057145	< R 1 < 0.111497	0.07510668	6
5	0.11149710	0.075107	< R 2 < 0.125472	0.15239009	7
12	0.18945520	0.214193	< R 3 < 0.283241	0.27349669	15
15	0.28550631	0.273497	< R 4 < 0.376826	0.41672629	17
22	0.43501249	0.488573	< R 5 < 0.595200	0.58244812	25
25	0.64756411	0.622319	< R 6 < 0.705084	0.70441109	31
30	0.70508438	0.704411	< R 7 < 0.806697	0.79792517	36
35	0.80669701	0.797925	< R 8 < 0.905778	0.90577799	38

UNA SOLUCIÓN: (Gestionada mediante opción automática)

R 1 =	0.084321	IREF =	5
R 2 =	0.093302	IREF =	5
R 3 =	0.260888	IREF =	13
R 4 =	0.306293	IREF =	16
R 5 =	0.562589	IREF =	24
R 6 =	0.663799	IREF =	27
R 7 =	0.750043	IREF =	33
R 8 =	0.860331	IREF =	38

CONTINGENTES DIFUSOS (Para esta c.s.l.d.)

5.000000	5.000001	4.999999	4.999998
5.000002	5.000000	5.000000	5.000000

Detallamos en la siguiente table algunos tiempos de ejecución obtenidos al correr el programa para muestras simuladas de Uniformes (0,1) de diversos tamaños y diferente número de clases difusas.

N	J	3	5	8	10	11	20	40	90
20		.97	.64	.78	.93	.95	1.27		
40		.95	.92	1.10	.84	1.00	1.00*	1.34	
100		1.09	1.16	1.14	1.12	1.05	.98*	.96*	.90*
1000		4.46	4.31	4.21	3.54	4.06	2.63*	2.51*	2.20*
10000			243.42			244.34			

Tiempos de ejecución en segundos de CPU

(\* indica que no existe solución)

Hagamos notar finalmente que este algoritmo está diseñado para resolver el problema de encontrar estas c.s.l.d. equilibradas, con un criterio (a) de equilibrio basado en la distribución muestral  $F_n(x)$ :

$$T(o)=c.1_j, \text{ es decir } \int_R Z_j dF_n(x) = N/J \quad \forall j=1\dots J$$

pero puede ser también utilizado (método de Monte Carlo) para obtener soluciones tan fiables como deseemos para el problema de encontrar c.s.l.d. equilibradas, con un criterio (b) de equilibrio teórico:

$$\int_R Z_j dF(x) = N/J \quad \forall j=1\dots J,$$

no sujeto a variaciones en el muestreo como el (a). (aplicar para ello el algoritmo a muestras de tamaño N, tan grande como se desee, de una v.a. siguiendo una distribución F(x)).

APENDICE 1 \* PASOS DEL ALGORITMO

Representamos abreviadamente con  $L_j \implies U_k$  (análogamente  $U_j \implies L_k$ , y sus negaciones con  $\neq \implies$ ) el siguiente hecho:  $r_j > L_j$  OBLIGA a  $U_k$ . Representamos con # la orden " ir al comienzo del paso siguiente".

START

Paso 1: para  $j=1 \dots J$  cargar  $L_j$  y  $U_j$  con los valores de partida:

$L_j(j)$  y  $U_j(j)$ ; recordar que  $L_1(1) = -\infty$  y  $U_j(J) = \infty; \#$ .

Paso 2:  $U_2 \implies L_1$  siempre. Cargo  $L_1$ ; #.

Paso 3: a/ Si  $L_2 \implies U_3$ , cargo  $U_3$ ; #.

b/  $U_3 \implies L_2$ ; cargo  $L_2$ ;

b.0/ Si para este nuevo valor  $L_2$   $L_2 \neq \implies U_1$ ; #.

b.1/ Si  $L_2 \implies U_1$ , cargo  $U_1$ ; #.

⋮

Paso j: Si  $U_{j-1} \implies L_j$ , Cargo  $L_j$ .

a/ Si  $L_{j-1} \implies U_j$ , Cargo  $U_j$ ; #.

b/ Si  $U_j \implies L_{j-1}$ , Cargo  $L_{j-1}$ .

b.0/ Si para este nuevo valor  $L_{j-1}$ ,  $L_{j-1} \neq \implies U_{j-2}$ ; #.

b.1/ Si  $L_{j-1} \implies U_{j-2}$ , Cargo  $U_{j-2}$ .

b.1.0/ Si para este nuevo  $U_{j-2}$ ,  $U_{j-2} \neq \implies L_{j-3}$ ; #.

b.1.1/ Si  $U_{j-2} \implies L_{j-3}$ , Cargo  $L_{j-3}$ .

⋮

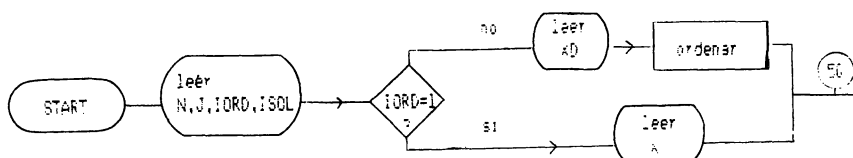
hasta llegar (salvo salida anterior) a  $L_1$  ó  $U_1$ , según

⋮ #. que j sea par o impar.

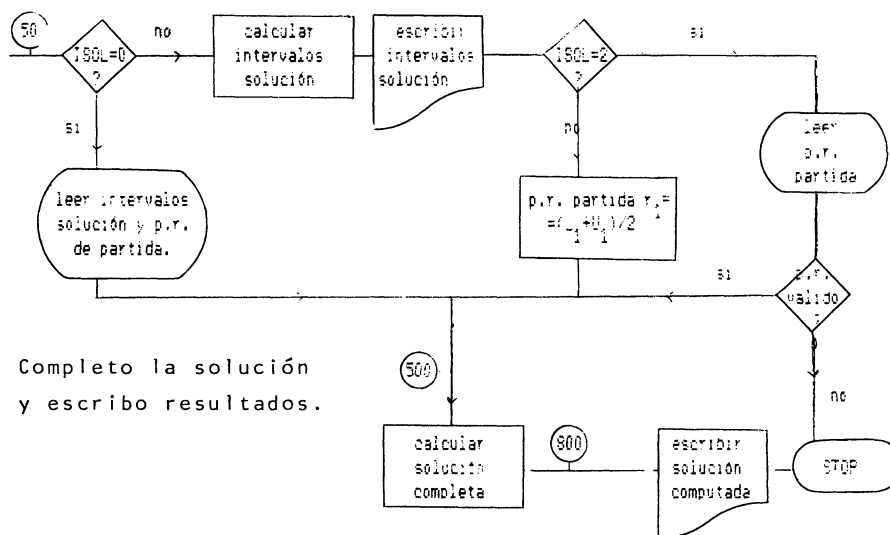
PASO J: STOP

APENDICE 2 # DIAGRAMA DE FLUJO ENTRE BLOQUES

Lectura de Tarjeta de control;  
Carga y ordenación de observaciones.



Carga de intervalos solución  
y de p.r. de partida para  
completar la solución.



Completo la solución  
y escribo resultados.

6. Bibliografía.

- [1] CAZES P. (1980) [ANA. BLOCS II]. Les Cahiers de l'Analyse des Données. Vol V n°. 4 p. 387-403.
- [2] GALLEGRO J. (1980) Thèse 3-ème cycle, Paris.
- [3] GALLEGRO J. (1982) Codage Flou en Analyse des Correspondances. Les Cahiers de l'Analyse des Données. Vol VIII n° 4 p. 413-440.
- [4] GLZ. DE GARIBAY V. (1984). Análisis de la Varianza sobre una Codificación Difusa. Tesis Doctoral. Universidad Valladolid.
- [5] GLZ. DE GARIBAY V. (1985) Funciones Paramétricas Estimables en Anova Difuso k-Criterio. XV Reunión de la SEIO. Asturias.
- [6] GLZ. DE GARIBAY V. y BARBA L. (1985) Particiones Difusas Equiponderadas. Publ. Secc. de Matemáticas Univ. Valladolid n° 9. p 125-136.
- [7] GUITONNEAU y ROUX (1977) [Le Genere Erodium] Les Cahiers de l'Analyse des Données. Vol. II n° 1 p. 97-113.
- [8] LEFOL (1979) Thèse 3-ème cycle. Paris.
- [9] DUBOIS, D. y PRADE, H. (1980). Fuzzy Sets and Systems. New York. Academic Press.

Manuscript received in February 18, 1986, and in final form April 14, 1986.

Departamento de Estadística.  
Facultad de Ciencias.  
Universidad de Valladolid.  
47071 VALLADOLID (SPAIN).